

Starkniederschlagshöhen und -spenden gemäß KOSTRA-DWD-2020

Rasterfeld 82143

(Zeile 82, Spalte 143)

Regenspende und Bemessungsniederschlagswerte in Abhängigkeit von Wiederkehrzeit T und Dauerstufe D

| Dauerstufe D | | Wiederkehrzeit T | | | | | | | | | | | | | | | | | |
|--------------|-----|------------------|------------|------|------------|------|------------|------|------------|-------|------------|-------|------------|-------|------------|-------|------------|-------|------------|
| | | 1 a | | 2 a | | 3 a | | 5 a | | 10 a | | 20 a | | 30 a | | 50 a | | 100 a | |
| min | Std | mm | l / (s ha) | mm | l / (s ha) | mm | l / (s ha) | mm | l / (s ha) | mm | l / (s ha) | mm | l / (s ha) | mm | l / (s ha) | mm | l / (s ha) | mm | l / (s ha) |
| 5 | | 5,7 | 190,0 | 6,9 | 230,0 | 7,7 | 256,7 | 8,7 | 290,0 | 10,2 | 340,0 | 11,7 | 390,0 | 12,7 | 423,3 | 13,9 | 463,3 | 15,8 | 526,7 |
| 10 | | 7,3 | 121,7 | 9,0 | 150,0 | 9,9 | 165,0 | 11,3 | 188,3 | 13,1 | 218,3 | 15,1 | 251,7 | 16,4 | 273,3 | 18,0 | 300,0 | 20,4 | 340,0 |
| 15 | | 8,4 | 93,3 | 10,3 | 114,4 | 11,4 | 126,7 | 12,9 | 143,3 | 15,1 | 167,8 | 17,3 | 192,2 | 18,7 | 207,8 | 20,6 | 228,9 | 23,4 | 260,0 |
| 20 | | 9,2 | 76,7 | 11,3 | 94,2 | 12,5 | 104,2 | 14,1 | 117,5 | 16,5 | 137,5 | 19,0 | 158,3 | 20,6 | 171,7 | 22,6 | 188,3 | 25,6 | 213,3 |
| 30 | | 10,5 | 58,3 | 12,8 | 71,1 | 14,2 | 78,9 | 16,0 | 88,9 | 18,7 | 103,9 | 21,5 | 119,4 | 23,3 | 129,4 | 25,7 | 142,8 | 29,1 | 161,7 |
| 45 | | 11,8 | 43,7 | 14,4 | 53,3 | 16,0 | 59,3 | 18,1 | 67,0 | 21,2 | 78,5 | 24,3 | 90,0 | 26,4 | 97,8 | 29,0 | 107,4 | 32,9 | 121,9 |
| 60 | 1 | 12,9 | 35,8 | 15,7 | 43,6 | 17,5 | 48,6 | 19,8 | 55,0 | 23,1 | 64,2 | 26,5 | 73,6 | 28,7 | 79,7 | 31,6 | 87,8 | 35,8 | 99,4 |
| 90 | 1,5 | 14,5 | 26,9 | 17,7 | 32,8 | 19,7 | 36,5 | 22,3 | 41,3 | 26,0 | 48,1 | 29,8 | 55,2 | 32,4 | 60,0 | 35,6 | 65,9 | 40,4 | 74,8 |
| 120 | 2 | 15,8 | 21,9 | 19,3 | 26,8 | 21,4 | 29,7 | 24,2 | 33,6 | 28,3 | 39,3 | 32,4 | 45,0 | 35,2 | 48,9 | 38,8 | 53,9 | 43,9 | 61,0 |
| 180 | 3 | 17,8 | 16,5 | 21,7 | 20,1 | 24,1 | 22,3 | 27,2 | 25,2 | 31,8 | 29,4 | 36,5 | 33,8 | 39,6 | 36,7 | 43,6 | 40,4 | 49,4 | 45,7 |
| 240 | 4 | 19,3 | 13,4 | 23,5 | 16,3 | 26,1 | 18,1 | 29,6 | 20,6 | 34,5 | 24,0 | 39,6 | 27,5 | 43,0 | 29,9 | 47,4 | 32,9 | 53,6 | 37,2 |
| 360 | 6 | 21,7 | 10,0 | 26,4 | 12,2 | 29,4 | 13,6 | 33,2 | 15,4 | 38,8 | 18,0 | 44,5 | 20,6 | 48,3 | 22,4 | 53,2 | 24,6 | 60,3 | 27,9 |
| 540 | 9 | 24,4 | 7,5 | 29,7 | 9,2 | 33,0 | 10,2 | 37,3 | 11,5 | 43,6 | 13,5 | 50,0 | 15,4 | 54,2 | 16,7 | 59,8 | 18,5 | 67,7 | 20,9 |
| 720 | 12 | 26,5 | 6,1 | 32,2 | 7,5 | 35,8 | 8,3 | 40,5 | 9,4 | 47,3 | 10,9 | 54,3 | 12,6 | 58,9 | 13,6 | 64,9 | 15,0 | 73,5 | 17,0 |
| 1080 | 18 | 29,7 | 4,6 | 36,2 | 5,6 | 40,2 | 6,2 | 45,5 | 7,0 | 53,1 | 8,2 | 61,0 | 9,4 | 66,1 | 10,2 | 72,8 | 11,2 | 82,5 | 12,7 |
| 1440 | 24 | 32,2 | 3,7 | 39,3 | 4,5 | 43,7 | 5,1 | 49,4 | 5,7 | 57,7 | 6,7 | 66,2 | 7,7 | 71,8 | 8,3 | 79,1 | 9,2 | 89,6 | 10,4 |
| 2880 | 48 | 39,3 | 2,3 | 47,9 | 2,8 | 53,2 | 3,1 | 60,2 | 3,5 | 70,3 | 4,1 | 80,7 | 4,7 | 87,5 | 5,1 | 96,4 | 5,6 | 109,1 | 6,3 |
| 4320 | 72 | 44,1 | 1,7 | 53,8 | 2,1 | 59,7 | 2,3 | 67,6 | 2,6 | 78,9 | 3,0 | 90,5 | 3,5 | 98,2 | 3,8 | 108,2 | 4,2 | 122,5 | 4,7 |
| 5760 | 96 | 47,9 | 1,4 | 58,4 | 1,7 | 64,8 | 1,9 | 73,4 | 2,1 | 85,6 | 2,5 | 98,3 | 2,8 | 106,6 | 3,1 | 117,4 | 3,4 | 133,0 | 3,8 |
| 7200 | 120 | 51,0 | 1,2 | 62,2 | 1,4 | 69,1 | 1,6 | 78,2 | 1,8 | 91,3 | 2,1 | 104,7 | 2,4 | 113,6 | 2,6 | 125,1 | 2,9 | 141,7 | 3,3 |
| 8640 | 144 | 53,7 | 1,0 | 65,5 | 1,3 | 72,8 | 1,4 | 82,3 | 1,6 | 96,1 | 1,9 | 110,3 | 2,1 | 119,6 | 2,3 | 131,8 | 2,5 | 149,3 | 2,9 |
| 10080 | 168 | 56,2 | 0,9 | 68,4 | 1,1 | 76,1 | 1,3 | 86,0 | 1,4 | 100,4 | 1,7 | 115,3 | 1,9 | 125,0 | 2,1 | 137,7 | 2,3 | 156,0 | 2,6 |

Starkniederschlagshöhen und -spenden gemäß KOSTRA-DWD-2020

Rasterfeld 82143

(Zeile 82, Spalte 143)

Örtliche Unsicherheiten in Abhängigkeit von Wiederkehrzeit T und Dauerstufe D

| Dauerstufe D | | Wiederkehrzeit T | | | | | | | | |
|--------------|-----|------------------|-----|-----|-----|------|------|------|------|-------|
| | | 1 a | 2 a | 3 a | 5 a | 10 a | 20 a | 30 a | 50 a | 100 a |
| min | Std | ± % | ± % | ± % | ± % | ± % | ± % | ± % | ± % | ± % |
| 5 | | 11 | 12 | 13 | 13 | 14 | 15 | 15 | 16 | 17 |
| 10 | | 13 | 15 | 16 | 17 | 18 | 19 | 19 | 20 | 21 |
| 15 | | 14 | 16 | 17 | 18 | 19 | 20 | 21 | 21 | 22 |
| 20 | | 14 | 17 | 18 | 19 | 20 | 21 | 21 | 22 | 23 |
| 30 | | 15 | 17 | 18 | 19 | 20 | 21 | 22 | 22 | 23 |
| 45 | | 14 | 16 | 17 | 18 | 20 | 21 | 21 | 22 | 23 |
| 60 | 1 | 13 | 16 | 17 | 18 | 19 | 20 | 21 | 22 | 22 |
| 90 | 1,5 | 12 | 15 | 16 | 17 | 18 | 19 | 20 | 20 | 21 |
| 120 | 2 | 12 | 14 | 15 | 16 | 17 | 18 | 19 | 20 | 20 |
| 180 | 3 | 10 | 12 | 14 | 15 | 16 | 17 | 18 | 18 | 19 |
| 240 | 4 | 10 | 11 | 13 | 14 | 15 | 16 | 17 | 17 | 18 |
| 360 | 6 | 9 | 10 | 11 | 12 | 14 | 15 | 15 | 16 | 17 |
| 540 | 9 | 8 | 9 | 10 | 11 | 12 | 13 | 14 | 14 | 15 |
| 720 | 12 | 7 | 9 | 9 | 10 | 11 | 12 | 13 | 13 | 14 |
| 1080 | 18 | 7 | 8 | 8 | 9 | 10 | 11 | 12 | 12 | 13 |
| 1440 | 24 | 8 | 8 | 8 | 9 | 10 | 10 | 11 | 11 | 12 |
| 2880 | 48 | 10 | 8 | 8 | 8 | 9 | 9 | 9 | 10 | 10 |
| 4320 | 72 | 11 | 9 | 9 | 9 | 9 | 9 | 9 | 10 | 10 |
| 5760 | 96 | 12 | 10 | 10 | 9 | 9 | 9 | 9 | 10 | 10 |
| 7200 | 120 | 13 | 11 | 11 | 10 | 10 | 10 | 10 | 10 | 10 |
| 8640 | 144 | 14 | 12 | 11 | 11 | 10 | 10 | 10 | 10 | 10 |
| 10080 | 168 | 14 | 12 | 12 | 11 | 10 | 10 | 10 | 10 | 10 |

Parameter für abweichende T und D

Lokationsparameter ξ (Xi)

13,05383041

Skalenparameter α (Alpha)

3,96787643

Formparameter κ (Kappa)

-0,1

1. Koutsoyiannis-Parameter θ (Theta)

0,01551971

2. Koutsoyiannis-Parameter η (Eta)

0,7150834

Parameter für dauerstufenübergreifende Extremwertschätzung nach KOUTSOYIANNIS et al. 1998.

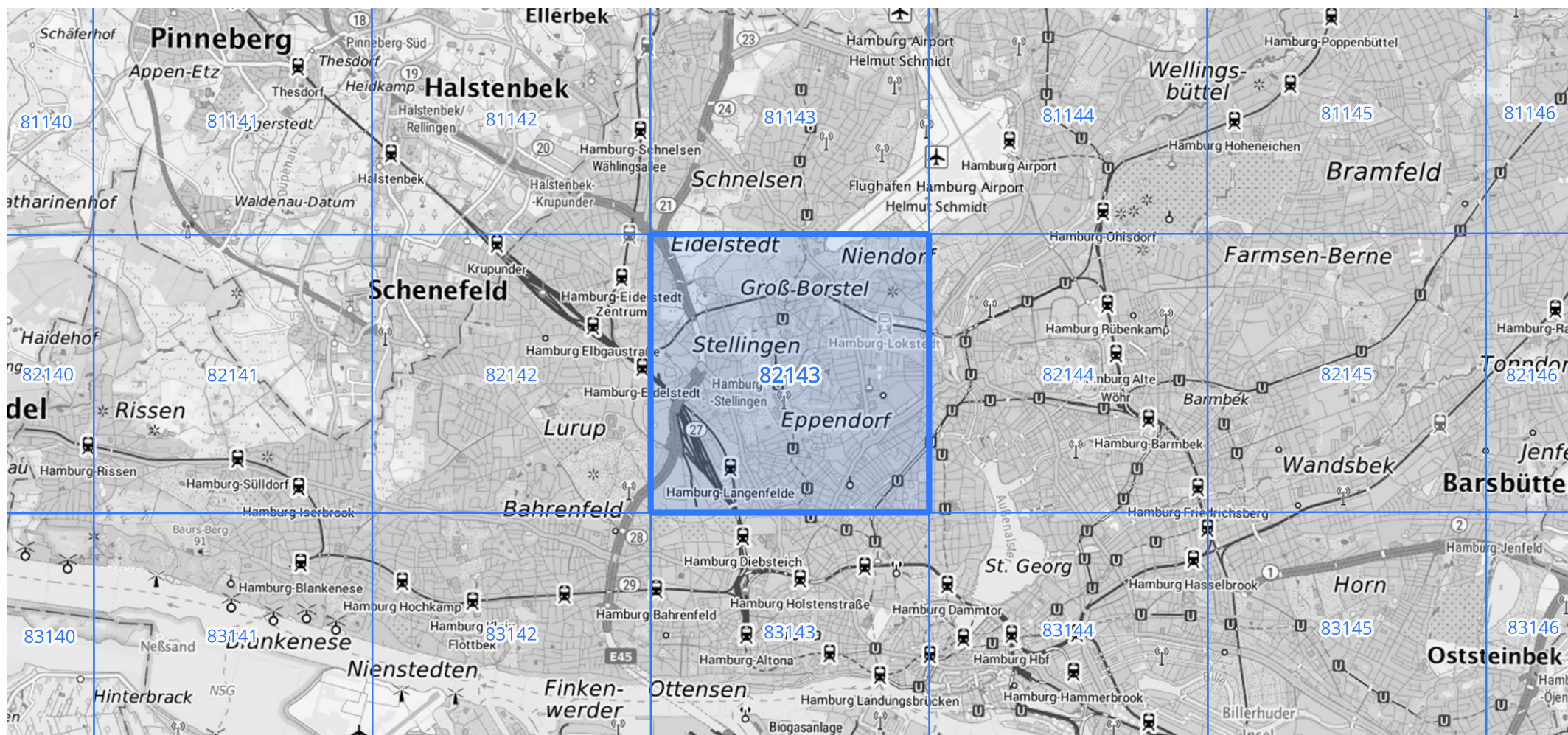
Siehe auch Anwendungshilfe zu KOSTRA-DWD-2020 des Deutschen Wetterdienstes.

Starkniederschlagshöhen und -spenden gemäß KOSTRA-DWD-2020

Rasterfeld 82143

(Zeile 82, Spalte 143)

Übersichtskarte des Rasterfeldes 82143, M 1 : 100 000



Quelle Rasterdaten: KOSTRA-DWD-2020 des Deutschen Wetterdienstes, Stand 12/2022.

Seite 3 von 3

Kartendarstellung: © Bundesamt für Kartographie und Geodäsie (2023), Datenquellen: https://sgx.geodatenzentrum.de/web_public/gdz/datenquellen/Datenquellen_TopPlusOpen.html

Für die Richtigkeit und Aktualität der Angaben wird keine Gewähr übernommen. Erstellt 01/2023.